

大机动飞机目标的跟踪滤波技术性能仿真

某机动飞机（Strike Fighter）为了监测某火山口附近情况，执行了一系列强机动模式的地形跟踪飞行，机动模式包括：**平飞、爬坡、翻滚、俯冲、蛇形机动、环形飞行等**（见附图及视频文件“Flying.mp4”）。现有AGI公司的飞行建模软件，可以逼真模拟这一飞行过程。通过加载地图、高程图、设置控制点、叠加飞行动力学等过程，可得到较为真实的飞机三维飞行轨迹及相应的速度（原始数据是在WGS-84大地坐标系下描述的，即经纬高的形式）。

现假设有一雷达能够对该飞机进行实时跟踪监测。为了简化分析，现假设雷达的量测直接在雷达站东北天（ENU）坐标系下进行，且xyz三个方向均一样为，量测误差假设为 $\sigma = 100\text{m}$ （也可根据需要自行调整）。

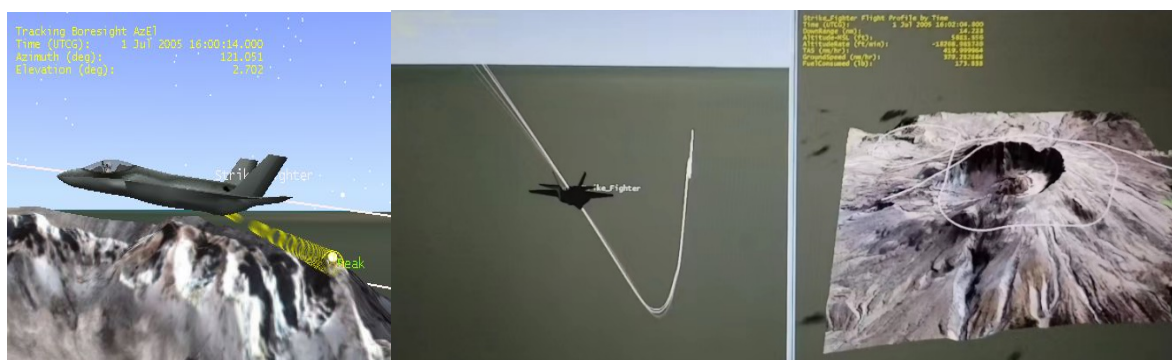
数据文件为按照飞行动力学生成的白方轨迹值（已经由大地坐标系转换到雷达站ENU坐标系），数据文件名称为“data.txt”，数据格式为“时间(s)，x(m)，y(m)，z(m)，xv(m/s)，yv(m/s)，zv(m/s)”。

请叠加误差生成雷达观测数据，利用统计信号处理和Kalman滤波的相关知识，并查阅相关文献，对以下问题进行回答：

问题一：采用不同运动模型（如CV模型、CA模型、Singer模型、当前统计模型、转弯模型、Jerk模型等，任选三种）对数据进行滤波，并利用蒙特卡洛仿真方法分析不同模型的估计精度。

问题二：采用交互多模型（IMM）算法对数据进行滤波，并利用蒙特卡洛仿真方法分析IMM的滤波精度。IMM的子模型个数一般为2~3个，子模型类型可以为问题一中的一种、两种或三种。如为一种，则表示不同的过程噪声水平。要求输出IMM的中间结果，包括模式概率的转换曲线等。

问题三：由视频可知，该飞机经历了一系列强机动模式的转弯过程，包括水平和纵向转弯过程。数学上曲线的弯曲程度可以用**曲率**和**挠率**来衡量。如直线的曲率为0，可不需要修改增益；而转弯是机动过程，曲率较大，增益应该偏小，此时应该以量测为主。请尝试将曲率和（或）挠率引入到跟踪滤波算法中，进行理论和仿真研究，分析引入曲率和（或）挠率后跟踪滤波算法的性能对比。

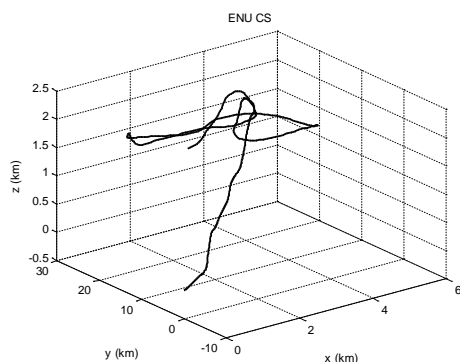


(a) 飞机外形

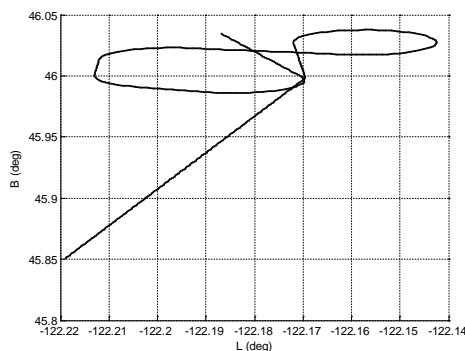
(b) 航迹航路

(c) 地形图

图1 飞行地形和飞行轨迹图



(a) 航迹ENU三维图



(b) 航迹经纬图

图2 航迹数据绘图

【说明】

(1) 视频文件“Flying.mp4”是老师手工拍摄的，为了节约空间，以快进模式录制的。

(2) 现实生活中的雷达量测为距离、方位、俯仰或速度，考虑到量测方程是非线性模型，最佳滤波应该为非线性滤波。这里为了方便起见，假设量测是在雷达站东北天ENU直角坐标系下直接得到的，这并不影响分析结论。

(3) 滤波需要初始迭代值。航迹起始可用两点或三点差分法，或用真实值起始。

(4) 滤波模型可以三个维度解耦建模也可以联合滤波（前者是三个滤波方程后者一个滤波方程）。

(5) **过程噪声是一个设计参数，会影响滤波精度。**过程噪声大了小了都不行，过程噪声应该反复调试，以便使平均滤波误差达到最小。

(6) 曲率和挠率处理思路。

曲率和挠率一般在数学手册或空间解析几何上有描述。

应用在跟踪领域有以下处理思路：一是计算曲率和挠率值，将其大小用来微调增益；二是将曲率和（或）挠率直接当成一个参数值，进行扩维滤波实时估计。曲率和（或）挠率可以和传统滤波模型结合也可以和IMM算法相结合。

设 $\mathbf{r} = (x, y, z)^T$ 为位置矢量，则曲率和挠率的计算公式为

曲率：

$$k(t) = \frac{|\dot{\mathbf{r}} \times \ddot{\mathbf{r}}|}{|\dot{\mathbf{r}}|^3} = \frac{[(\dot{y}\ddot{z} - \dot{y}\ddot{z})^2 + (\dot{z}\ddot{x} - \dot{x}\ddot{z})^2 + (\dot{x}\ddot{y} - \dot{y}\ddot{x})^2]^{1/2}}{(\dot{x}^2 + \dot{y}^2 + \dot{z}^2)^{3/2}}$$

挠率：

$$\tau(t) = \frac{(\dot{\mathbf{r}}, \ddot{\mathbf{r}}, \dddot{\mathbf{r}})}{|\dot{\mathbf{r}} \times \ddot{\mathbf{r}}|^2} = \frac{\begin{vmatrix} \dot{x} & \dot{y} & \dot{z} \\ \ddot{x} & \ddot{y} & \ddot{z} \\ \dddot{x} & \dddot{y} & \dddot{z} \end{vmatrix}}{[(\dot{y}\ddot{z} - \dot{y}\ddot{z})^2 + (\dot{z}\ddot{x} - \dot{x}\ddot{z})^2 + (\dot{x}\ddot{y} - \dot{y}\ddot{x})^2]^{3/2}}$$

(7) 滤波性能的蒙特卡洛检验方法。

1) 均方根误差

记蒙特卡洛仿真次数为 M
滤波误差的均值

$$\overline{e_x(k)} = \frac{1}{M} \sum_{i=1}^M [x_i(k) - \hat{x}_i(k/k)]$$

滤波误差的标准差

$$\sigma_{\hat{x}} = \sqrt{\frac{1}{M} \sum_{i=1}^M [x_i(k) - \hat{x}_i(k/k)]^2 - [\overline{e_x(k)}]^2}$$

y 和 z 方向的位置误差及各方向的速度误差可类似描述，整体误差可按范数加权。绘制出不同时刻的均方根误差曲线即可体现滤波器的性能。

2) 状态估计误差一致性检验

状态估计误差为

$$\tilde{\mathbf{X}}(k|k) = \mathbf{X}(k) - \hat{\mathbf{X}}(k|k)$$

归一化状态估计误差的平方

$$\varepsilon(k) = \tilde{\mathbf{X}}^T(k|k) \mathbf{P}^{-1}(k|k) \tilde{\mathbf{X}}(k|k)$$

M 次蒙特卡洛仿真实验，每次得到样本 $\varepsilon^i(k)$ ，样本均值为

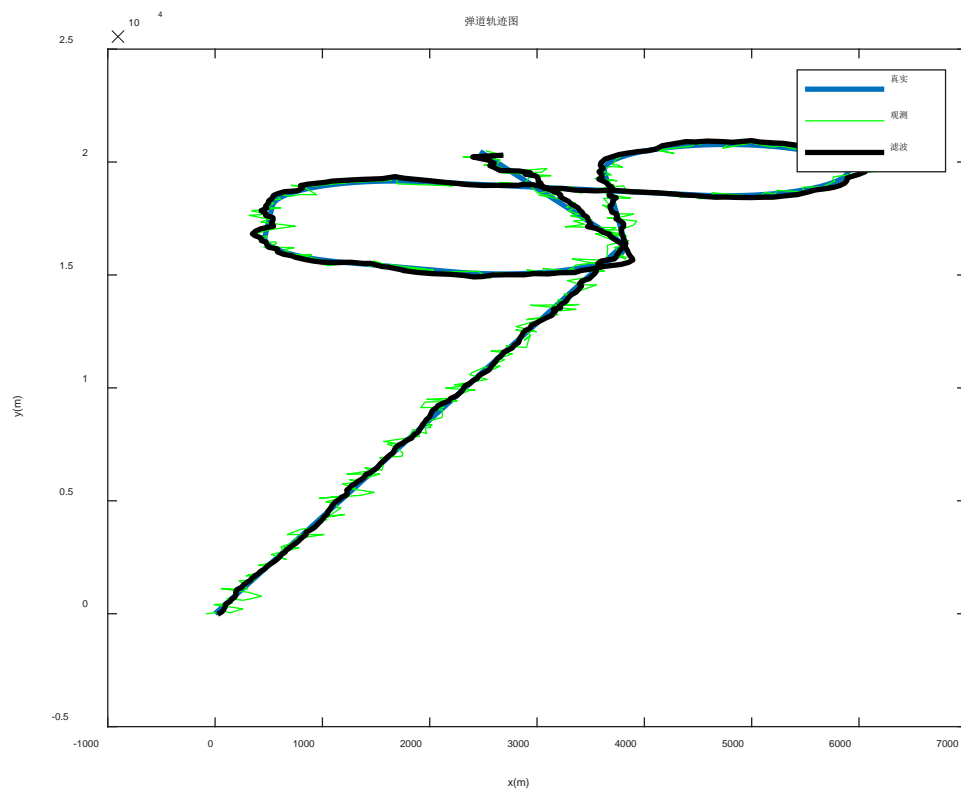
$$\bar{\varepsilon}(k) = \frac{1}{M} \sum_{i=1}^M \varepsilon^i(k)$$

则 $M\bar{\varepsilon}(k)$ 为自由度 $n_x M$ 的 χ^2 分布，给定置信度 α ，由 χ^2 分布表可得到 $M\bar{\varepsilon}(k)$ 的置信区间，该区间除以 M 即为随机变量 $\bar{\varepsilon}(k)$ 的置信区间。滤波结果如果在这个置信区间内，则状态估计算法是一致的。

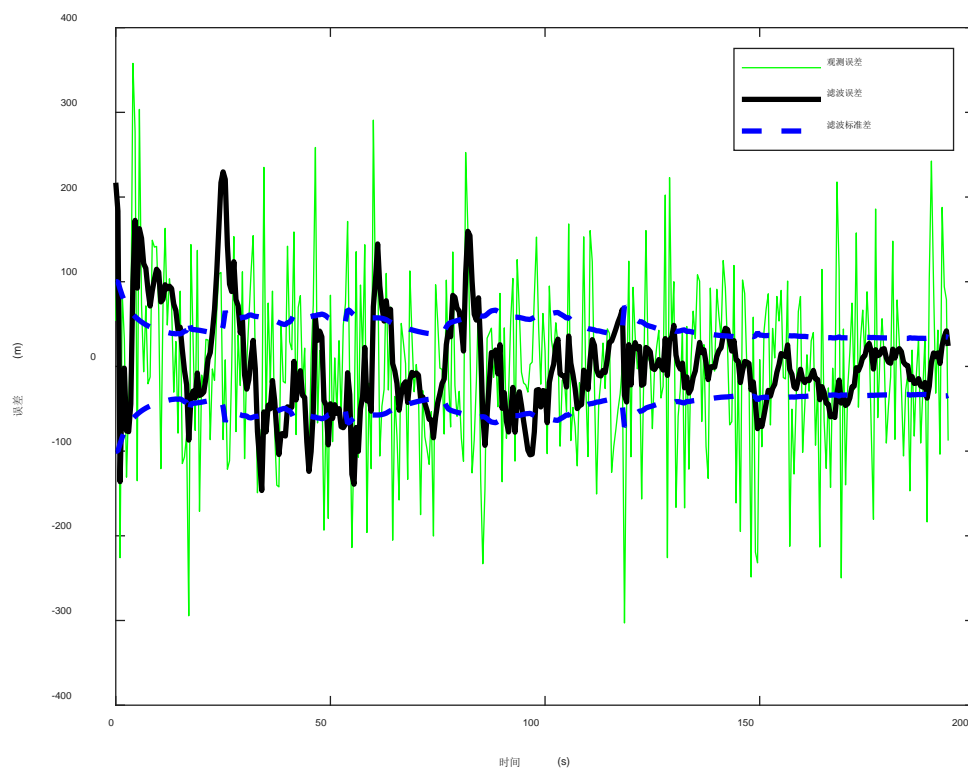
【参考文献】

- [1] Li X R, Jilkov V P. Survey of Maneuvering Target Tracking—Part I: Dynamic Models[J]. IEEE Transactions on Aerospace and Electronics Systems, 2003, 39(4): 1333~1364.
- [2] 何友. 雷达数据处理[M][第二版]. 北京: 电子工业出版社, 2009.
- [3] 蔡庆宇、薛毅等. 相控阵雷达数据处理及其仿真技术[M]. 国防工业出版社, 1997
- [4] Yaakov bar-shalom, Estimation with Applications to Tracking and Navigation: Theory Algorithms and Software, John&Wiley, 2001
- [5] 叶其孝, 实用数学手册 (第2版), 北京: 科学出版社, 2006
- [6] 罗鹏飞等, 统计信号处理 (第二版), 北京: 清华大学出版社, 2023

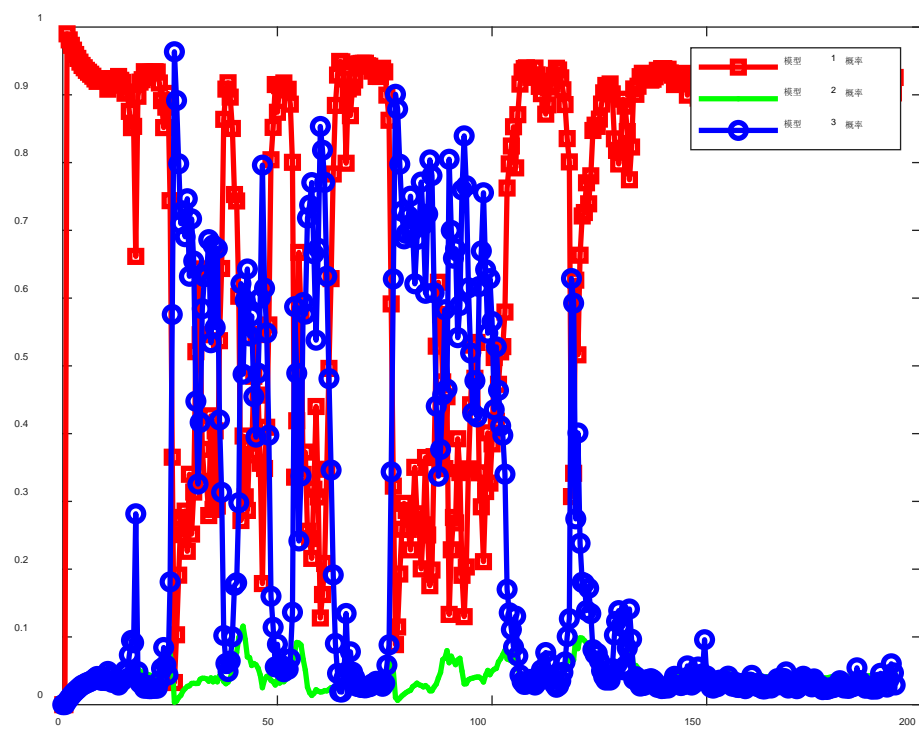
【部分仿真结果参考】



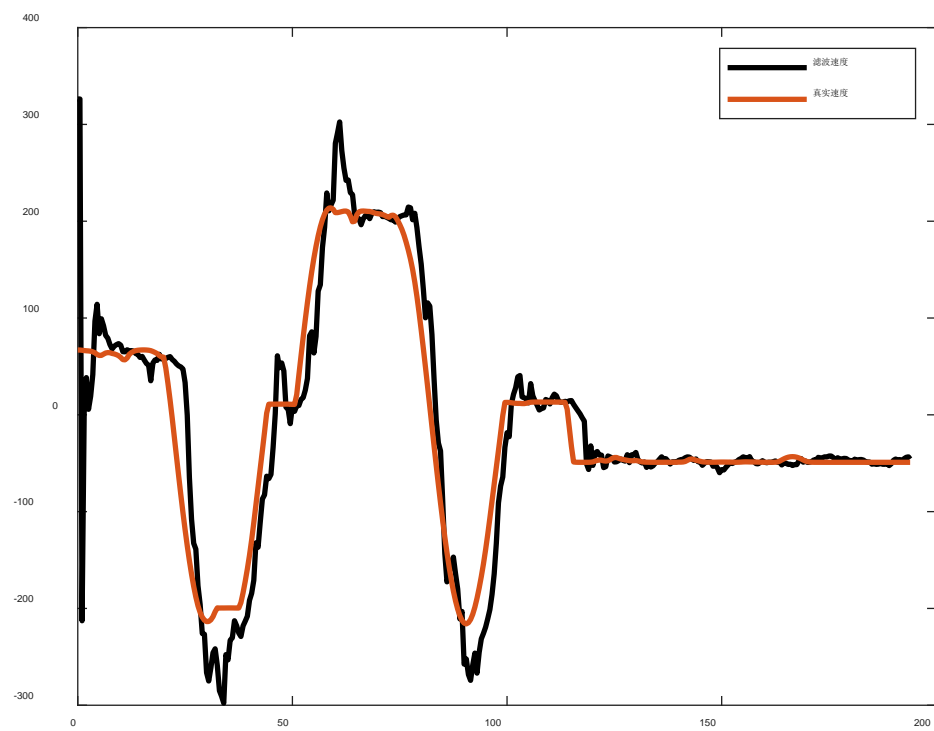
IMM 滤波结果



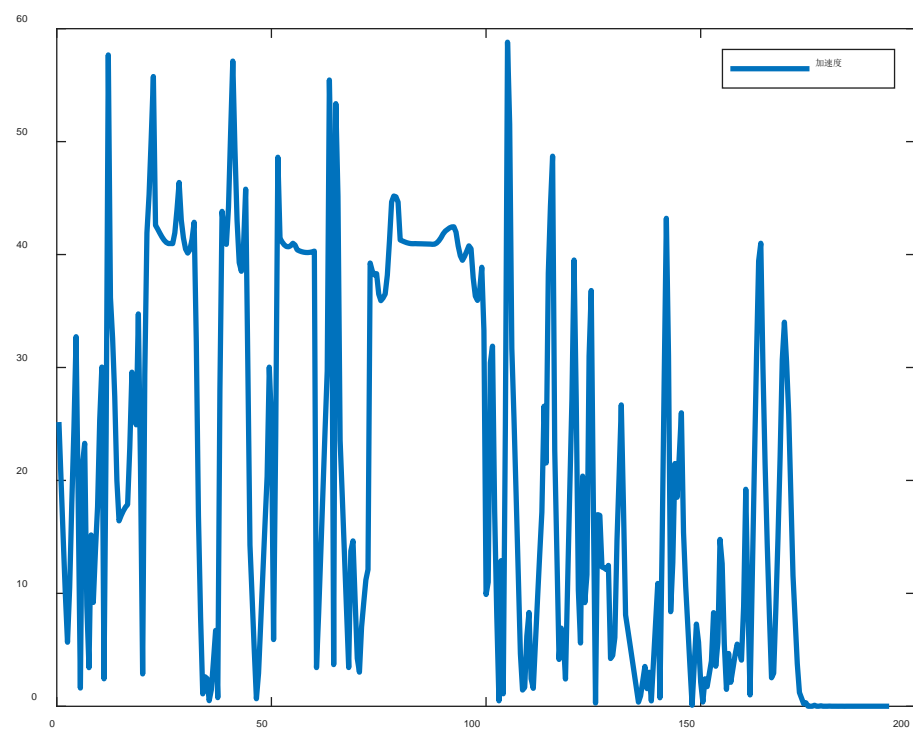
IMM 滤波误差



IMM 概率转化图



IMM 滤波速度



加速度